



## INFLUÊNCIA DO CLORETO DE SÓDIO NA CARBONIZAÇÃO DO ÁCIDO ASCÓRBICO: ESTRUTURA E **MORFOLOGIA**

Andressa S. Dias (G)1\*; Jaderson L. Milagres (PQ)1; Renê C. Da Silva (PQ)2; Márcio J. da Silva (PQ)3

- <sup>1</sup> Departamento de Ciências Exatas e da Terra, Universidade do Estado de Minas Gerais, Av. Olegário Maciel, 1427, Industrial, 36500-000 Ubá, Minas Gerais, Brasil.
  - <sup>2</sup> Departamento de Física, Universidade Federal de Viçosa, Av. PH Holfs, s/n, 36570-900 Viçosa, Minas Gerais, Brasil.
  - <sup>3</sup> Departamento de Química, Universidade Federal de Viçosa, Av. PH Holfs, s/n, 36570-900 Viçosa, Minas Gerais, Brasil.

#### **RESUMO**

Este trabalho investigou a carbonização térmica do ácido ascórbico (AA) com diferentes proporções de cloreto de sódio (NaCl) nas temperaturas de 250 °C, 350 °C e 450 °C. As amostras foram caracterizadas por FTIR, TG, MEV, UV-Vis e condutividade elétrica. Explorouse o papel do NaCl como modificador morfológico e estrutural, destacando sua capacidade de reduzir a temperatura de degradação do AA e favorecer a formação de estruturas conjugadas. As morfologias variaram entre esponjosas e rochosas, com propriedades ajustáveis via controle de proporção e temperatura. A 250 °C, houve dissolução de compostos orgânicos com potencial para a produção de produtos de alto valor agregado e a 450 °C formaram-se partículas coloidais estáveis após maceração. Este estudo contribui com uma abordagem sustentável e versátil para a produção de novos materiais funcionais, com potencial de aplicação em eletrodos, sensores e dispositivos semicondutores.

Palavras-chave: Biomateriais; Caracterização; Morfologia; Valorização química

# Introdução

A busca por materiais sustentáveis com alta estabilidade térmica, boa condutividade elétrica e comportamento químico inerte tem impulsionado o desenvolvimento de materiais carbonizados para eletrodos, sensores e dispositivos semicondutores. (1,2) Resíduos naturais, como celulose, lignina, entre outros, são comumente utilizados, (3,4) porém ácidos desempenham um papel crucial nas reações de desidratação e no controle da morfologia. (5) O ácido ascórbico (AA) surge como precursor sintético devido à sua pureza, alto teor de carbono e ao controle mais eficiente da morfologia do material, impactando diretamente suas propriedades eletroquímicas. (6) Até o momento, pouco se sabe sobre a carbonização do AA na presença de sais, especialmente o cloreto de sódio (NaCl), que pode atuar como agente modificador. Embora existam estudos iniciais sobre a degradação do ácido ascórbico, (6,7,8) este trabalho é inovador ao explorar o papel do NaCl na modificação estrutural e morfológica durante a carbonização do AA. O objetivo deste estudo é sintetizar e caracterizar materiais carbonizados de AA/NaCl, explorando suas propriedades estruturais e funcionais para aplicações industriais.

# **Experimental**

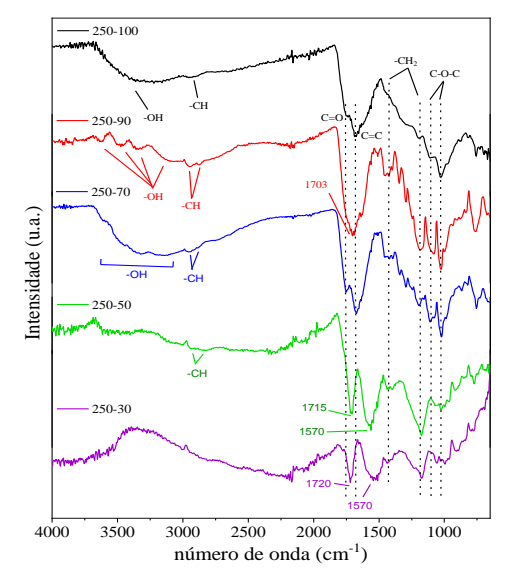
Foram preparadas amostras carbonizadas a partir de ácido ascórbico (AA) e cloreto de sódio (NaCl) em cinco proporções mássicas AA:NaCl (% m/m) de 100:0; 90:10; 70:30; 50:50 e 30:70, mantendose a massa total de 3,0 g. As misturas foram dissolvidas em 10 mL de água destilada sob agitação a 60 °C e, em seguida, submetidas à carbonização em forno mufla a 250 °C, 350 °C e 450 °C por 1 hora. Após o resfriamento, os materiais foram triturados e armazenados. As amostras foram caracterizadas por Espectroscopia na região do Infravermelho com Transformada de Fourier (FTIR), Microscopia Eletrônica de Varredura com Espectroscopia de Energia Dispersiva de Raios-X (MEV/EDS) e análise termogravimétrica (TG/DSC). A estabilidade em água foi avaliada por condutividade elétrica e espectroscopia UV-Vis após 24 horas de agitação.

#### Resultados e Discussão

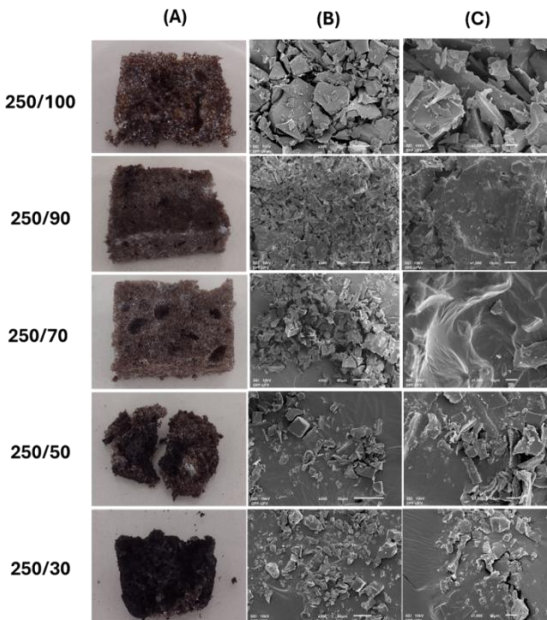
Os espectros de FTIR (Figura 1) indicaram que, a partir de 250 °C, a mistura de ácido ascórbico (AA) e cloreto de sódio (NaCl) apresentou redução nos grupos hidroxila e o surgimento de novas funcionalidades, como carbonilas e insaturações, típicas de proc<mark>essos</mark> de desidratação e reorganização molecular. Esse fenômeno foi observado apenas em temperaturas mais altas de carbonização para o AA puro, destacando o papel ativo do NaCl na modificação estrutural. A 350°C e 450°C, as amostras com NaCl formaram estruturas mais conjugadas, o que favorece a condução de elétrons, um aspecto essencial para materiais condutores e semicondutores. As alterações nos espectros sugerem que o NaCl facilita a estruturação do material, permitindo a obtenção de propriedades eletroquímicas mais eficientes. Em relação à morfologia verificadas pelo MEV (Figura 2), as amostras apresentaram texturas distintas conforme se altera a proporção AA:NaCl.



Observou-se desde superfícies quebradiças até texturas esponjosas, com distribuição homogênea dos elementos, conforme observados por EDS.



**Figura 1.** Espectro de Infravermelho das amostras de acido ascórbico (AA) com diferentes proporções de cloreto de sódio na temperatura de 250°C. Onde 100, 90, 70, 50 e 30 representam a proporção de AA.



**Figura 2.** Comparação de imagens de Microscopia Eletrônica de Varredura (MEV) geradas das misturas de ácido ascórbico e cloreto de sódio carbonizadas a 250°C. Cada proporção é representa pela temperatura / porcentagem m/m de ácido ascórbico. (A) Imagens macro das amostras após a carbonização (B) Amostras no MEV com resolução de 50 μm. (C) Amostras no MEV com resolução de 10 μm.

A análise térmica (TG) evidenciou mudanças no perfil de decomposição do AA na presença de NaCl, indicando uma menor energia necessária para a degradação térmica. Além disso, foi observada uma baixa taxa de decomposição ao se atingir 700°C, sugerindo maior estabilidade térmica do material carbonizado.



Ensaios preliminares de solubilidade em água mostraram que as amostras carbonizadas a 250°C nas proporções de 100, 90 e 70 de AA apresentaram dissolução de compostos orgânicos, o que sugere a possibilidade de produzir compostos de valor agregado. Por outro lado, as amostras com 50 e 30 de AA exibiram maior estabilidade, sem dissolução significativa. À medida que a temperatura de carbonização aumentou para 350°C e 450°C, o material manteve sua estabilidade para todas as proporções com NaCl, com formação de partículas menores que 1 µm que podem ser vantajosas para modulação de propriedades, como condutividade e reatividade, em aplicações como eletrodos e sensores. A caracterização das amostras por MEV e a análise da solução aquosa por UV-Vis e condutividade confirmaram e distinguiram os compostos dissolvidos dos materiais particulados, comprovando a presença de estruturas coloidais estáveis em determinadas condições.

## Conclusões

A carbonização do ácido ascórbico na presença de cloreto de sódio demonstrou ser uma abordagem promissora para o desenvolvimento de materiais carbonizados com excelentes propriedades para aplicações em eletrodos, sensores e dispositivos semicondutores. O NaCl facilitou a estruturação do material, promovendo maior estabilidade térmica e modificando a morfologia das amostras, com a formação de estruturas mais conjugadas. A solubilidade controlada e a possível geração de compostos de valor agregado indicam o potencial para a valorização química do ácido ascórbico. Este estudo abre caminho para pesquisas futuras, explorando diferentes sais e condições de carbonização, visando a otimização das propriedades dos materiais e suas aplicações em tecnologias sustentáveis e avançadas.

## Agradecimentos

Universidade do Estado de Minas Gerais (UEMG) e Universidade Federal de Viçosa (UFV)

### Referências

- X. Fan; Y. Li; Q. Jiang; C. Wu, Chem. Commun. 2024, 60, 3819-3833.
- W. Zhang; Y. Zhang; S. Shen; J. Liu; Q. Li, Green Chem. 2025, 27, 2172-2184.
- 3. Y. Hui; Y. Shewen; Z. Jiaming; L. Tongxiang, Frontiers in Chemistry 2019, 7, 274.
- 4. Y. Yan; W. Sun; Y. Wei; K. Liu; J. Ma; G. Hu, Nanomaterials 2025, 15, 315.
- 5. J. Yan; H. Wu; W. Shen; S. Guo, RSC Adv., 2016, 6, 37555.
- 6. X. Zhou; L. Xu; X. Liu; J. Zhang; H. Diao; X. Ma, Chem. Res. Chin. Univ. 2018, 34, 628-634.
- 7. K.D. Cunha; M.C. Souza; B.S. Oliveira; T.P. Silva, Braz. J. Food Technol. 2014, 17, 139-145.
- 8. S. Basak; L. Shaik; S. Chakraborty, Avanç. Quím. Alimentar 2023, 2, 100333.